

### 3 雷达测量精度和分辨力

为研究分析各种复杂信号的性能提供了理论基础，也是优化雷达波形设计的基础。

- 1、精度：测量目标参数的准确度；  
分辨：区分两个或两个以上目标的能力。  
(发射波形决定的最大理论精度和固有分辨力)
- 2、分析的前提：最佳处理系统、窄带信号、点目标
- 3、目的：波形参量度量精度和分辨力

### 3.1 “点目标”回波的数学模型

点目标：目标尺寸远小于雷达分辨单元。

分析条件：①传播无衰减；②不考虑天线方向性（回波强度不变）；③径向速度为正。

#### 1、静止点目标

发射信号：

$$s(t) = \mu(t)e^{j2\pi f_0 t}$$

$$\tau = \frac{2R_0}{c}$$

回波信号：

$$s_r(t) = \mu(t - \tau)e^{j2\pi f_0 (t - \tau)}$$

#### 2、运动点目标

$$s_r(t) = \mu[t - \tau(t)]e^{j2\pi f_0 [t - \tau(t)]}$$

$$R(t) = R_0 - vt$$

经过推导有：

$$\begin{aligned} S_r(t) &= \mu[t - \tau + \frac{2vt}{C}]e^{j2\pi f_0[t - \tau + \frac{2vt}{C}]} \\ &= \mu[\alpha t - \tau]e^{-j2\pi f_0\tau}e^{j2\pi(f_0 + f_d)t} \end{aligned}$$

$$\alpha = 1 + \frac{2v}{C}, f_d = \frac{2v}{C}f_0 = \frac{2v}{\lambda}$$

运动目标的影响：① 压缩/展宽；② 多普勒偏差。

考虑到  $\alpha \approx 1, f_0 \gg f_d$  有：

$$S_r(t) = \mu[t - \tau]e^{j2\pi(f_0 + f_d)(t - \tau)}$$

说明：  $\alpha \approx 1, f_d \ll f_o, v \ll c, BT \ll \frac{c}{2v}$  (声纳等除外)

## 3.2 雷达测距精度

一、概念：延迟时间测量准确度。

二、分析条件和方法

条件：①速度已知；②存在噪声；③相位为零；④视频情况；⑤忽略其它因素。

方法：均方差  $\varepsilon^2 = \int_0^T |s(t - \tau) - r(t)|^2 dt$

三、具体分析结果  $\varepsilon^2 = K - 2\text{Re}[R_{SrS}(\tau) + R_{naS}(\tau)]$

$$R_{SrS}(\tau) = \left[ \int_{-\infty}^{\infty} \mu^*(t - \tau) \mu_r(t) dt \right] e^{j2\pi f_0 \tau} \quad : \text{与信号特性有关}$$

$$R_{naS}(\tau) = \left[ \int_{-\infty}^{\infty} \mu^*(t - \tau) n(t) dt \right] e^{j2\pi f_0 \tau} \quad : \text{与噪声特性有关}$$

若移到  $\tau_1$  后，使  $[R_{srS}(\tau_1)+R_{naS}(\tau_1)]$  最大，则  $\varepsilon^2$  就最小， $\tau_1$  非常接近  $\tau_0$  。由于多值性，则考虑包络，即  $[R_{\mu r\mu}(\tau_1)+R_{n\mu}(\tau_1)]$  最大。

$$(\tau_1 - \tau_0) = -\frac{\text{Re}[R'_{nu}(\tau_1)]}{R''_{\mu_r\mu}(\tau_0)}$$

$$\sigma_\tau = (\tau_1 - \tau_0)_{rms} = -\frac{\{\text{Re}[R'_{nu}(\tau_1)]\}_{rms}}{R''_{\mu_r\mu}(\tau_0)}$$

$$\sigma_\tau = \frac{\sqrt{N_0}}{\left[ (2\pi)^2 \int_{-\infty}^{\infty} f^2 |\mu(f)|^2 df \right]^{1/2}}$$

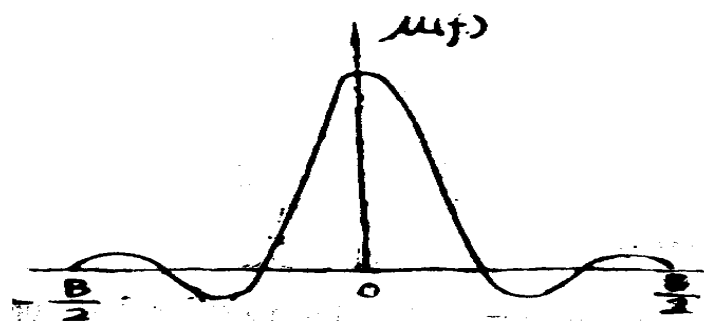
$$\beta_0^2 = \frac{(2\pi)^2 \int_{-\infty}^{\infty} f^2 |\mu(f)|^2 df}{\int_{-\infty}^{\infty} |\mu(f)|^2 df} \quad \sigma_\tau = \frac{1}{\beta_0 \sqrt{\frac{2E}{N_0}}}$$

- 结论：
- ①与均方根带宽成反比，与信噪比成反比；
  - ②信噪比一定，不同发射信号具有不同  $\beta_0$ ，不同  $\sigma_\tau$ ；
  - ③与频域特性有关，与其时域特性无直接关系；
  - ④  $\sigma_\tau$  是比较各种信号形式能给出最大理论精度的依据；
  - ⑤  $\beta_0$  与信号带宽和后面介绍的有效相关带宽不同。

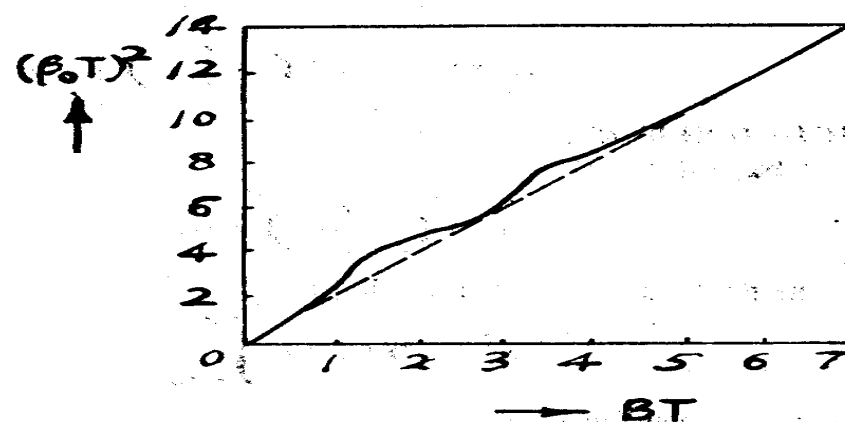
单载频矩形脉冲信号：  $\mu(t) = \text{rect}\left(\frac{t}{T}\right)$

$$\beta_0^2 = \frac{(2\pi)^2 \int_{-\infty}^{\infty} f^2 |\mu(f)|^2 df}{\int_{-\infty}^{\infty} |\mu(f)|^2 df} = \frac{(2\pi)^2 \int_{-\infty}^{\infty} f^2 \left| \frac{\sin \pi f t}{\pi f t} \right|^2 df}{\int_{-\infty}^{\infty} \left| \frac{\sin \pi f t}{\pi f t} \right|^2 df} \rightarrow \infty$$

$$\beta_0^2 = \frac{(2\pi)^2 \int_{-B/2}^{B/2} f^2 \left| \frac{\sin \pi f t}{\pi f t} \right|^2 df}{\int_{-B/2}^{B/2} \left| \frac{\sin \pi f t}{\pi f t} \right|^2 df} = \frac{1}{T^2} \left[ \frac{\pi B T - \sin \pi B T}{\text{Si}(\pi B T) + (\cos \pi B T - 1)/\pi B T} \right]$$



图(3.3.3) 矩形信号的频谱



图(3.3.4)  $(\beta_0 T)^2$ 与 $BT$ 的关系

$$(\beta_0 T)^2 \approx 2BT$$

$$\beta_0^2 \approx \frac{2B}{T}$$

## 3.3 雷达测速精度

一、分析条件和方法

条件：①距离已知；②存在噪声；③相位为零；④视频情况；⑤忽略其它因素。

方法：均方差

二、分析结果

$$\sigma_{\xi} = \frac{1}{\delta \sqrt{\frac{2E}{N_0}}} \quad \delta^2 = \frac{(2\pi)^2 \int_{-\infty}^{\infty} t^2 |\mu(t)|^2 dt}{\int_{-\infty}^{\infty} |\mu(t)|^2 dt}$$

三、单载频矩形脉冲信号：  $\delta^2 = \frac{\pi^2}{3} T^2$



### 3.4 信号的非线性相位特性对测量精度的影响

$\phi(t) \neq 0$ ，具有非线性相位。

时间相位常数：

$$\alpha = \frac{2\pi \int_{-\infty}^{\infty} t \phi'(t) a^2(t) dt}{\int_{-\infty}^{\infty} [a(t)]^2 dt} = \frac{2\pi \int_{-\infty}^{\infty} t \phi'(t) |u(t)|^2 dt}{\int_{-\infty}^{\infty} |u(t)|^2 dt}$$

$$\sigma_{\tau}^2 = \frac{1}{\beta_0^2 \frac{2E}{N_0} [1 - (\frac{\alpha}{\beta_0 \delta})^2]}$$

$$\sigma_{\xi}^2 = \frac{1}{\delta_0^2 \frac{2E}{N_0} [1 - (\frac{\alpha}{\beta_0 \delta})^2]}$$

结论：①  $\phi(t) \neq 0$ ，且非线性相位，测距测速精度之间有牵连，且  $\alpha$  由时间相位常数决定，与均方根带宽时宽之积有关；  
② 否则，不存在牵连，最大理论精度由均方根带宽时宽决定。

例1:  $u(t) = \text{rect}\left(\frac{t}{T}\right)e^{j\pi kt^2} \quad |t| < T$

$$\phi(t) = \pi kt^2 \quad \phi'(t) = 2\pi kt$$

$$\alpha = \frac{2\pi \int_{-\infty}^{\infty} t \phi'(t) a^2(t) dt}{\int_{-\infty}^{\infty} [a(t)]^2 dt} = \frac{2\pi \int_{-T/2}^{T/2} t(2\pi kt) dt}{\int_{-T/2}^{T/2} dt} = \frac{\pi^2 k T^2}{3}$$

例2:  $u(t) = \text{rect}\left(\frac{t}{T}\right)e^{j\pi kt} \quad |t| < T$

$$\phi(t) = \pi kt \quad \phi'(t) = \pi k$$

$$\alpha = \frac{2\pi \int_{-\infty}^{\infty} t \phi'(t) a^2(t) dt}{\int_{-\infty}^{\infty} [a(t)]^2 dt} = \frac{2\pi \int_{-T/2}^{T/2} t(\pi k) dt}{\int_{-T/2}^{T/2} dt} = \frac{\pi^2 k T}{2}$$

## 3.5 雷达不定原理

$\beta_0$ ,  $\delta$ ,  $\alpha$  关系, 都用时域表示。

$$\beta_0^2 \delta^2 - \alpha^2 \geq \pi^2$$

$$\beta_0^2 \delta^2 \geq \pi^2$$

结论: ①雷达不定原理;

②存在下限 (均方根带宽时宽之积不同时很小);

③测量精度有上限;

$$\sigma_\tau \sigma_\xi = \frac{1}{\frac{2E}{N_0} \beta_0 \delta} \leq \frac{1}{\pi \frac{2E}{N_0}} \quad \alpha = 0$$

$$\sigma_\tau \sigma_\xi = \frac{\beta_0 \delta}{\frac{2E}{N_0} [\beta_0^2 \delta^2 - \alpha^2]} \leq \frac{\beta_0 \delta}{\pi^2 \frac{2E}{N_0}} \quad \alpha \neq 0$$

## 3.6 距离分辨力

一、概述

二、分析条件和准则

条件：①速度相同点目标，②无噪声，③反射能力相同；

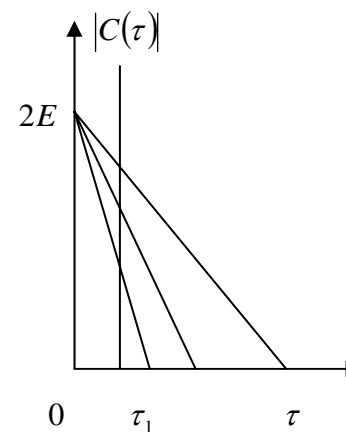
准则：均方差准则

三、分析结果

$$\begin{aligned}\varepsilon^2 &= \int |Sr_1(t) - Sr_2(t)|^2 dt \\ &= 4E - 2|C(\tau)| \cos[2\pi f_0 \tau + \arctg(c(\tau))]\end{aligned}$$

$C(\tau) = \int_{-\infty}^{\infty} u^*(t)u(t-\tau)dt$  为距离自相关函数。

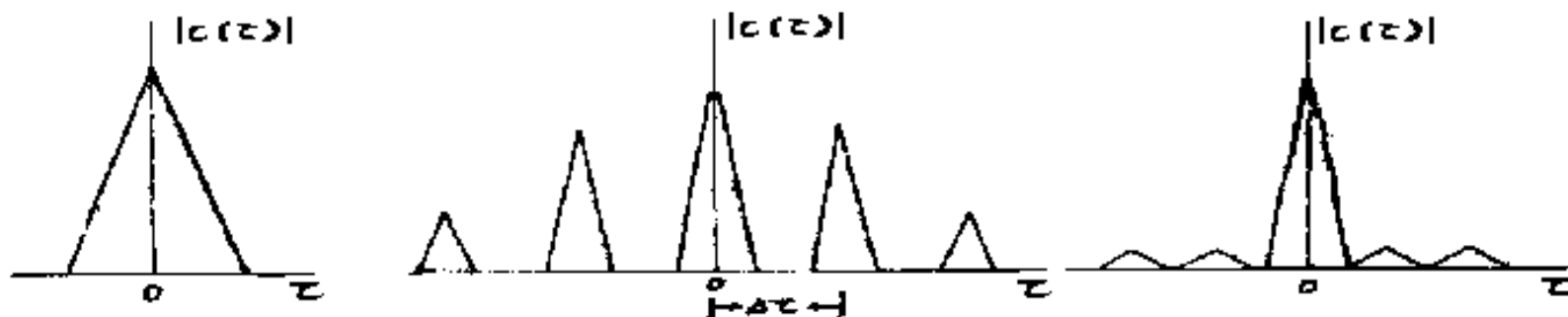
四、 $C(\tau)$  对距离分辨力的影响



## 五、 $c(\tau)$ 与匹配滤波器输出响应的关系

$$g_c(t) = u(t) * h_m(t) = C[-(t - t_0)]$$

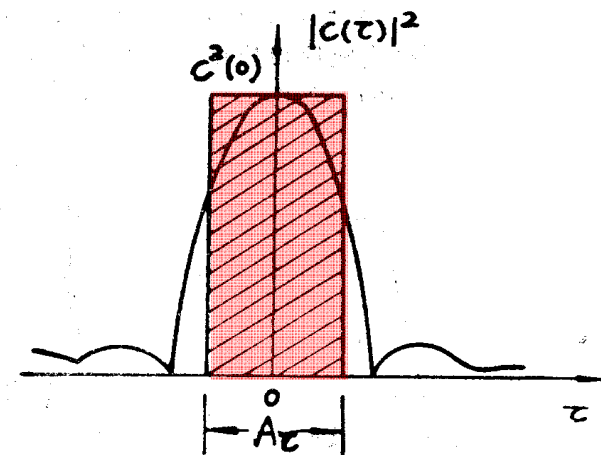
匹配滤波器的输出响应有三种形式：



## 六、衡量距离分辨力的波形参量

时延分辨常数：

$$A_\tau = \frac{\int_{-\infty}^{\infty} |C(\tau)|^2 d\tau}{C^2(0)} = \frac{\int_{-\infty}^{\infty} |u(f)|^4 df}{[\int_{-\infty}^{\infty} |u(f)|^2 df]^2}$$



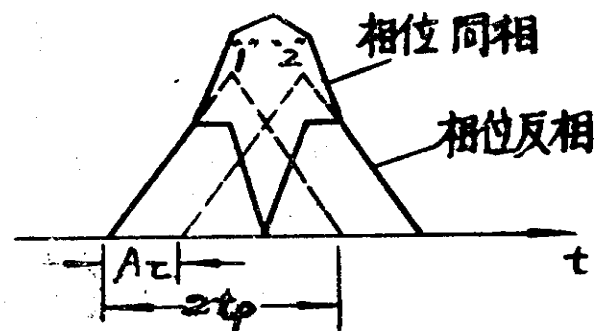
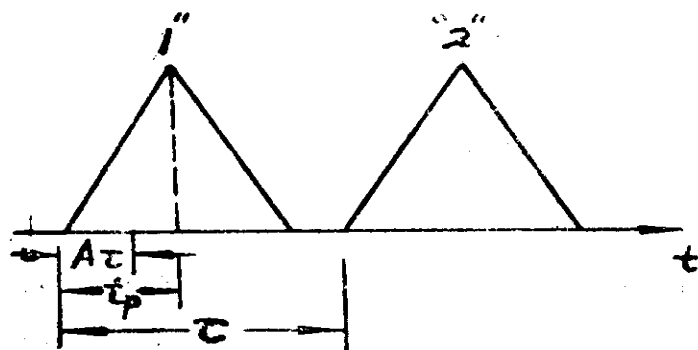
时延分辨常数与分辨力的关系： $\Delta R = \frac{C}{2} A_\tau$

有效相关带宽：
$$W_e = \frac{[\int_{-\infty}^{\infty} |u(f)|^2 df]^2}{\int_{-\infty}^{\infty} |u(f)|^4 df} = \frac{1}{A_\tau}$$

总结：①②③④

例：单载频矩形脉冲信号的有效相关带宽？

$$W_e = \frac{1}{A_\tau} = \frac{3}{2} \frac{1}{T_p}$$



## 3.7 速度分辨力

### 一、分析条件和准则

条件： ①距离相同点目标， ②无噪声， ③反射能力相同；

准则： 均方差准则（回波信号的频谱）

### 二、分析结果

$$\varepsilon^2 = 4E - 2\operatorname{Re}[K(\xi)]$$

$K(\xi) = \int_{-\infty}^{\infty} u^*(f)u(f - \xi)df$  为频率自相关函数。

### 三、衡量速度分辨力的波形参量

多普勒分辨常数：
$$A_{\xi} = \frac{\int_{-\infty}^{\infty} |K(\xi)|^2 df}{K^2(0)} = \frac{\int_{-\infty}^{\infty} |u(t)|^4 dt}{[\int_{-\infty}^{\infty} |u(t)|^2 dt]^2}$$

有效相关时宽：
$$T_e = \frac{[\int_{-\infty}^{\infty} |u(t)|^2 dt]^2}{\int_{-\infty}^{\infty} |u(t)|^4 dt}$$

# 本章小结

## 1、分析条件

## 2、准则

$$\varepsilon 1^2 = \int_0^T |s(t-\tau) - r(t)|^2 dt \quad \varepsilon 2^2 = \int |Sr_1(t) - Sr_2(t)|^2 dt$$

a.含意, b.条件, c.决定因素, d.波形参量

## 3、最大理论精度、固有分辨力

$$\sigma_\tau = \frac{1}{\beta_0 \sqrt{\frac{2E}{N_0}}} \quad \sigma_\xi = \frac{1}{\delta \sqrt{\frac{2E}{N_0}}} \quad \Delta R = \frac{C}{2} A_\tau = \frac{C}{2} \frac{1}{We} \quad \Delta V = \frac{C}{2} \frac{A_\xi}{f_0} = \frac{C}{2f_0} \frac{1}{T_e}$$

## 4、不定原理

$$\beta_0^2 \delta^2 - \alpha^2 \geq \pi^2$$

$$\beta_0^2 \delta^2 \geq \pi^2$$

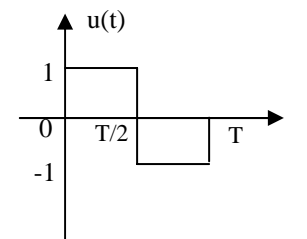


# 作 业 (P92)

1、已知信号的复包络为： $\mu(t) = \sum_{n=0}^2 a_n \cdot \mu_1(t - nT)$ ，其中

$\mu_1(t) = \text{rect}\left[\frac{t - T/2}{T}\right]$ ,  $a_0 = a_1 = 1, a_2 = -1$ ，求  $\mu(t)$  的  $A_\tau$ 、 $W_e$ 、 $A_\xi$  和  $T_e$ 。

2、求下图极性反转信号的  $W_e$  和  $T_e$ 。



3、求下图梯形脉冲信号的  $\beta_0$ 、 $\delta$ 。

